
Lista 2

Dutos e Muffler

Aeroacústica Computacional

Aluno:

José Pedro de Santana Neto - 201505394

Professor: **Andrey Ricardo da Silva, PhD.**

5 de novembro de 2015

1 Condições de Contorno - Duto

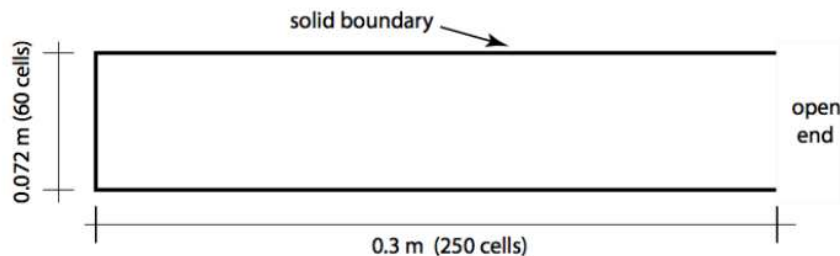


Figura 1: Ilustração do duto abordado com a parede a direita aberta.

1.1 Tubo Fechado-Fechado

Nesse primeiro caso de simulação haverá um pulso de densidades em forma de uma linha de células de lattice na extremidade esquerda do tubo. Esse pulso irá se propagar até encontrar a condição fechada (barreira) ao final do duto. Ao encontrar essa condição a frente de onda de pressão é refletida com fase positiva. E assim a onda fará 8 vezes o caminho de ida e volta desse percurso.

1.1.1 Códigos

```

1 clear all;
  clc;
3 close all;

5 %% 1 - Set lattice sizes
  number_lines_lattice = 60 + 2; % cells in the y direction
7 number_columns_lattice = 250 + 2; % cells in the x direction

9 %% 2 - Set physical parameters (macro)
  physical_sound_velocity = 340; % [m/s]

```

```

11 physical_density = 1.2; % [kg/m^3]
   physical_dimension_max_x = 0.3; % [m]
13 physical_dimension_max_y = 0.072; % [m]
   % voxel is a term to express a volume decribed in a pixel: volume +
   pixel = voxel
15 dimension_x_voxel = physical_dimension_max_x/number_columns_lattice;
   % defining dimension x in voxel
   lattice_time_step = (1/sqrt(3))*dimension_x_voxel/
   physical_sound_velocity;
17
   %% 3 - Set lattice parameters (meso - lattice unities)
19 frequency_relaxation = 1.9; % to 1.5e-5 physcosity 1.9998; 860e-5 =
   1.9
   time_relaxation = 1/frequency_relaxation;
21 lattice_average_density = 1;
   lattice_sound_speed = 1/sqrt(3);
23 lattice_sound_speed_pow_2 = lattice_sound_speed^2;
   lattice_viscosity = lattice_sound_speed_pow_2*(1/frequency_relaxation
   -0.5);
25 physical_viscosity = lattice_viscosity*(dimension_x_voxel^2)/
   lattice_time_step; % [m^2/s]

27 % 4 - Build lattice struct with D2Q9 (lattice = Y x X)
   lattice = build_lattice_D2Q9(number_lines_lattice ,
   number_columns_lattice , lattice_average_density);
29
   % 4.1 - Setting conditions of wall
31 wall_points{1} = [2 2 251 251 2]; % set points in horizontal
   wall_points{2} = [2 61 61 2 2]; % set points in vertical
33 conditions_wall = crossing3( number_lines_lattice , ...
   number_columns_lattice , wall_points);
35
   % 5 - Set initial disturbance
37 initial_disturbance_density = 0.001;
   points_lattice{2} = [3:60]; % set point along y
39 points_lattice{1} = linspace(3,3,length(points_lattice{2})); % set
   all the points in x = 3
   lattice = set_initial_disturbances(lattice ,
   initial_disturbance_density , points_lattice);

```

```

41 %% 6 – Begin the interactive process
43 time_final = round(4*2*250*sqrt(3))
   pressure_final_tube(1:time_final) = 0;
45 particule_velocity_final_tube(1:time_final) = 0;
   for ta = 1 : time_final
47
       %% 6.1 – Propagation (streaming)
49       lattice = stream_lattice(lattice);
51
       %% 6.1.2 – Setting conditions of walls
       lattice = set_conditions_wall(lattice , conditions_wall);
53
       %% 6.2 – Recalculating density and velocities
55       density = sum(lattice{1},3);
       pressures_input(ta) = mean(density(26:31, 60) - 1)*
lattice_sound_speed^2;
57       pressures_output(ta) = mean(density(26:31, number_columns_lattice
- 60) - 1)*lattice_sound_speed^2;
       lattice = calculate_velocities(lattice , density);
59
       %% 6.3 – Collide
61       lattice = collide_lattice(lattice , frequency_relaxation);
63
       %% Ploting the results in real time
       pressure_final_tube(ta) = mean(density(3:60,250) - 1)*
lattice_sound_speed^2;
65       horizontal_velocity = lattice{2};
       particule_velocity_final_tube(ta) = mean(horizontal_velocity
(3:60,250));
67       %grid off
       imshow(mat2gray(density - 1));
69       %imagesc(density-1)
       pause(.0000001)
71       (ta/time_final)*100
   end % End main time Evolution Loop
73
75 frequency_pressure_final_tube = fft(pressure_final_tube);

```

```

frequency_particule_velocity_final_tube = fft(
    particule_velocity_final_tube);
77 impedance = frequency_pressure_final_tube./
    frequency_particule_velocity_final_tube;
frequencies = linspace(0,1/lattice_time_step,length(
    frequency_pressure_final_tube))*2*pi*physical_dimension_max_y/
    physical_sound_velocity;
79 figure(2);
plot(frequencies, imag(impedance));
81 ylabel('Impedancia','FontSize',20);
xlabel('Numero de Helmholtz','FontSize',20);
83 title('Parte Imaginaria da Impedancia','FontSize',20);
axis([0 frequencies(end) -2000 2000]);
85 figure(3);
plot(frequencies, real(impedance), 'r');
87 ylabel('Impedancia','FontSize',20);
xlabel('Numero de Helmholtz','FontSize',20);
89 title('Parte Real da Impedancia','FontSize',20);
axis([0 frequencies(end) -2000 2000]);

```

code_matlab/code_refactored/closed-closed/main_lbgk.m

```

%% functionname: function description
2 function lattice = build_lattice_D2Q9(number_lines_lattice,
    number_columns_lattice, lattice_average_density)

4 % 1
number_directions_D2Q9 = 9;
6 lattice_distribution = zeros(number_lines_lattice,
    number_columns_lattice, number_directions_D2Q9);

8 % 2 – Filling the initial distribution function (at t=0) with initial
    values
lattice_distribution(:, :, :) = lattice_average_density/9;
10 lattice_velocity_x = zeros(number_lines_lattice,
    number_columns_lattice);
lattice_velocity_y = zeros(number_lines_lattice,
    number_columns_lattice);
12

```

```

% 3
14 lattice{1} = lattice_distribution;
   lattice{2} = lattice_velocity_x;
16 lattice{3} = lattice_velocity_y;

```

code_matlab/code_refactored/closed-closed/build_lattice_D2Q9.m

```

function lattice = set_initial_disturbances(lattice,
    initial_disturbance_density, points_lattice)
2
   lattice_distribution = lattice{1};
4   size_lattice = size(lattice_distribution(:, :, 1));
   number_lines_lattice = size_lattice(1);
6   number_columns_lattice = size_lattice(2);

8   horizontal_points = points_lattice{2};
   vertical_points = points_lattice{1};
10

   if length(horizontal_points) ~= length(vertical_points)
12       disp('Quantity points not equal in X and Y axis. ');
   else
14       quantity_points = length(horizontal_points);
       for point = 1:quantity_points
16           lattice_distribution(horizontal_points(point), vertical_points(
               point), 9) = initial_disturbance_density/9;
           end
18       end

20   lattice{1} = lattice_distribution;

```

code_matlab/code_refactored/closed-closed/set_initial_disturbances.m

```

1 function lattice = calculate_velocities(lattice, rho)

3     % Determining lattice_time_stephe velocities according to Eq.() (
   see slides)
   f = lattice{1};

```

```

5   C_x=[1 0 -1 0 1 -1 -1 1 0]; % velocity
   vectors in x
   C_y=[0 1 0 -1 1 1 -1 -1 0]; % velocity
   vectors in y
7   lattice{2} = (C_x(1).*f(:, :, 1)+C_x(2).*f(:, :, 2)+C_x(3).*f(:, :, 3)+
C_x(4).*f(:, :, 4)+C_x(5).*f(:, :, 5)+C_x(6).*f(:, :, 6)+C_x(7).*f
(:, :, 7)+C_x(8).*f(:, :, 8))./rho ;
   lattice{3} = (C_y(1).*f(:, :, 1)+C_y(2).*f(:, :, 2)+C_y(3).*f(:, :, 3)+
C_y(4).*f(:, :, 4)+C_y(5).*f(:, :, 5)+C_y(6).*f(:, :, 6)+C_y(7).*f
(:, :, 7)+C_y(8).*f(:, :, 8))./rho ;

```

code_matlab/code_refactored/closed-closed/calculate_velocities.m

```

function lattice = collide_lattice(lattice, frequency_relaxation);
2
   density = sum(lattice{1},3);
4   w0=16/36. ; w1=4/36. ; w2=1/36.; % lattice
   weights
   rt0= w0*density;
   rt1= w1*density;
6   rt2= w2*density;
   velocity_x_pow_2 = lattice{2}.^2;
   velocity_y_pow_2 = lattice{3}.^2;
10  velocity_pow_2 = velocity_x_pow_2 + velocity_y_pow_2;
   f1=3.;
12  f2=4.5;
   f3=1.5; % coef. of
   the f equil.
14  feq(:, :, 1)= rt1 .*(1 +f1*lattice{2} +f2.*velocity_x_pow_2 -f3*
velocity_pow_2);
   feq(:, :, 2)= rt1 .*(1 +f1*lattice{3} +f2.*velocity_y_pow_2 -f3*
velocity_pow_2);
16  feq(:, :, 3)= rt1 .*(1 -f1*lattice{2} +f2.*velocity_x_pow_2 -f3*
velocity_pow_2);
   feq(:, :, 4)= rt1 .*(1 -f1*lattice{3} +f2.*velocity_y_pow_2 -f3*
velocity_pow_2);
18  feq(:, :, 5)= rt2 .*(1 +f1*(+lattice{2}+lattice{3}) +f2*(+lattice
{2}+lattice{3}).^2 -f3.*velocity_pow_2);

```

```

    feq(:, :, 6) = rt2 .* (1 + f1 * (-lattice{2} + lattice{3}) + f2 * (-lattice
20    {2} + lattice{3}).^2 - f3 .* velocity_pow_2);
    feq(:, :, 7) = rt2 .* (1 + f1 * (-lattice{2} - lattice{3}) + f2 * (-lattice
    {2} - lattice{3}).^2 - f3 .* velocity_pow_2);
    feq(:, :, 8) = rt2 .* (1 + f1 * (+lattice{2} - lattice{3}) + f2 * (+lattice
22    {2} - lattice{3}).^2 - f3 .* velocity_pow_2);
    feq(:, :, 9) = rt0 .* (1 - f3 .* velocity_pow_2);

24    f = lattice{1};
    lattice{1} = frequency_relaxation * feq + (1 - frequency_relaxation) * f
;

```

code_matlab/code_refactored/closed-closed/collide_lattice.m

```

1 %% set_conditions_wall: function to set the conditions wall in each
    cell in lattice
function lattice = set_conditions_wall(lattice, conditions_wall)
3    vec1 = conditions_wall{1};
    vec2 = conditions_wall{2};
5    vec3 = conditions_wall{3};
    vec4 = conditions_wall{4};
7    vec5 = conditions_wall{5};
    vec6 = conditions_wall{6};
9    vec7 = conditions_wall{7};
    vec8 = conditions_wall{8};
11   f = lattice{1};
    G = f;
13    f(vec1) = G(vec3);
    f(vec3) = G(vec1);
15    f(vec2) = G(vec4);
    f(vec4) = G(vec2);
17    f(vec5) = G(vec7);
    f(vec7) = G(vec5);
19    f(vec6) = G(vec8);
    f(vec8) = G(vec6);
21    lattice{1} = f;

```

code_matlab/code_refactored/closed-closed/set_conditions_wall.m


```

1 function lattice = stream_lattice(lattice)
3
4     % 1
5     lattice_distribution = lattice{1};
6     size_lattice = size(lattice_distribution(:, :, 1));
7     number_lines_lattice = size_lattice(1);
8     number_columns_lattice = size_lattice(2);
9
10    % 2
11    lattice_distribution(:, :, 1) = [lattice_distribution(:, 1:2, 1) ...
12    lattice_distribution(:, 2:number_columns_lattice-1, 1)];
13    lattice_distribution(:, :, 2) = [lattice_distribution(1:2, :, 2); ...
14    lattice_distribution(2:number_lines_lattice-1, :, 2)];
15    lattice_distribution(:, :, 3) = [lattice_distribution(:, 2:
16    number_columns_lattice-1, 3) ...
17    lattice_distribution(:, number_columns_lattice-1:
18    number_columns_lattice, 3)];
19    lattice_distribution(:, :, 4) = [lattice_distribution(2:
20    number_lines_lattice-1, :, 4); ...
21    lattice_distribution(number_lines_lattice-1:number_lines_lattice
22    , :, 4)];
23    lattice_distribution(:, :, 5) = [lattice_distribution(:, 1:2, 5) ...
24    lattice_distribution(:, 2:number_columns_lattice-1, 5)];
25    lattice_distribution(:, :, 5) = [lattice_distribution(1:2, :, 5); ...
26    lattice_distribution(2:number_lines_lattice-1, :, 5)];
27    lattice_distribution(:, :, 6) = [lattice_distribution(:, 2:
28    number_columns_lattice-1, 6) ...
29    lattice_distribution(:, number_columns_lattice-1:
30    number_columns_lattice, 6)];
31    lattice_distribution(:, :, 6) = [lattice_distribution(1:2, :, 6); ...
32    lattice_distribution(2:number_lines_lattice-1, :, 6)];
33    lattice_distribution(:, :, 7) = [lattice_distribution(:, 2:
34    number_columns_lattice-1, 7) ...
35    lattice_distribution(:, number_columns_lattice-1:
36    number_columns_lattice, 7)];
37    lattice_distribution(:, :, 7) = [lattice_distribution(2:
38    number_lines_lattice-1, :, 7); ...
39    lattice_distribution(number_lines_lattice-1:number_lines_lattice
40    , :, 7)];

```

```

31 lattice_distribution (:,:,8) = [lattice_distribution (:,1:2,8) ...
lattice_distribution (:,2:number_columns_lattice-1,8)];
lattice_distribution (:,:,8) = [lattice_distribution (2:
33 number_lines_lattice-1,:,8); ...
lattice_distribution (number_lines_lattice-1:number_lines_lattice
,,:,8)];
35 %% 4
lattice{1} = lattice_distribution;

```

code_matlab/code_refactored/closed-closed/stream_lattice.m

1.1.2 Imagens da Simulação



Figura 2: Imagem da frente de onda indo em direção a parede.



Figura 3: Imagem da frente de onda voltando depois da colisão com a parede do tubo fechado.

1.1.3 Gráficos de Impedância

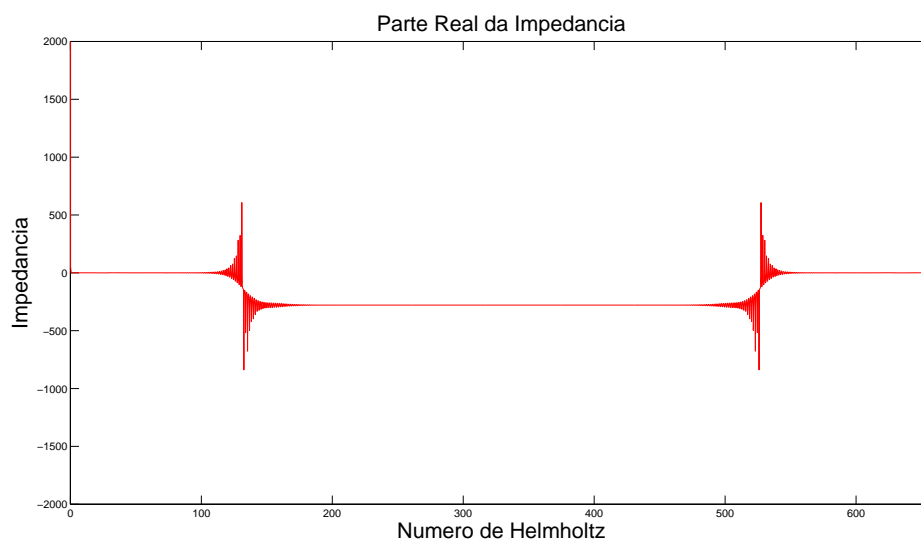


Figura 4: Gráfico da parte real da impedância, ou seja, parte ativa de energia que não permanece no sistema.

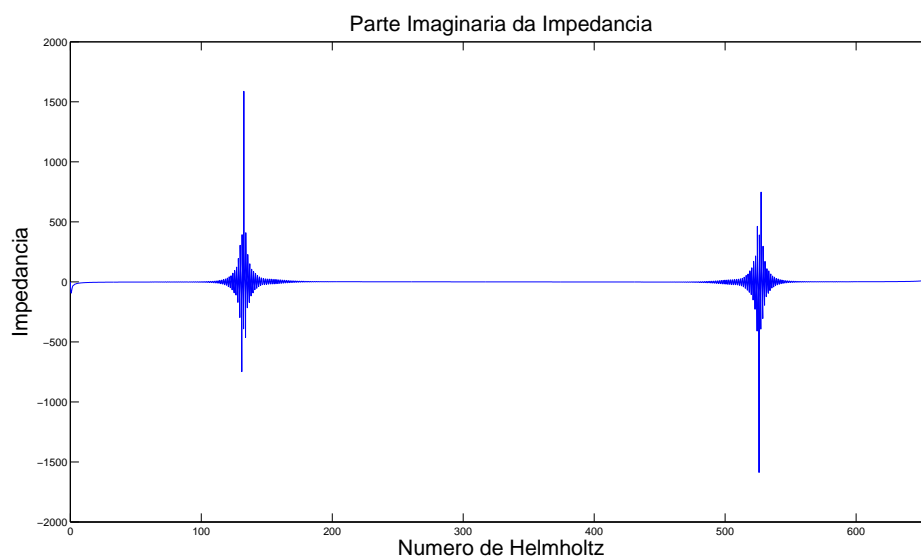


Figura 5: Gráfico da parte imaginária da impedância, ou seja, parte reativa de energia que permanece no sistema.

1.1.4 Análise

Em vista do que foi mostrado nas figuras 2 e 3, de fato a onda colidiu com a parede, voltou com fase positiva e com bastante energia conservada. Também há de se comentar que o gráfico de maior energia foi o da figura 5. Esse fato confirma a hipótese de que, num duto de paredes fechadas, há pouquíssima energia (bem próxima de zero) se dissipando ou indo para fora do sistema (representado no gráfico da figura 4) e bastante energia contida dentro do tubo representado em 5. Também é perceptível que a parte real da impedância (ativa) decresce se aproximando de zero e a parte imaginária (reativa) cresce.

1.2 Tubo Fechado-Aberto

Nesse segundo caso de simulação haverá um pulso de densidades em forma de uma linha de células de lattice na extremidade esquerda do tubo. Esse pulso irá se propagar até encontrar a condição aberta (sem nenhuma barreira ou condição de contorno) ao final do duto. Ao encontrar essa condição a frente de onda de pressão é refletida com fase negativa. E assim a onda fará 8 vezes o caminho de ida e volta desse percurso.

1.2.1 Códigos

```

1 clear all;
2 clc;
3 close all;
4
5 %% 1 - Set lattice sizes
6 number_lines_lattice = 60 + 2; % cells in the y direction
7 number_columns_lattice = 250 + 2; % cells in the x direction
8
9 %% 2 - Set physical parameters (macro)
10 physical_sound_velocity = 340; % [m/s]
11 physical_density = 1.2; % [kg/m^3]
12 physical_dimension_max_x = 0.3; % [m]
13 physical_dimension_max_y = 0.072; % [m]
14 % voxel is a term to express a volume described in a pixel: volume +
15     pixel = voxel
16 dimension_x_voxel = physical_dimension_max_x/number_columns_lattice;
17     % defining dimension x in voxel
18 lattice_time_step = (1/sqrt(3))*dimension_x_voxel/
19     physical_sound_velocity;
20
21 %% 3 - Set lattice parameters (meso - lattice unities)
22 frequency_relaxation = 1.9; % to 1.5e-5 physcosity 1.9998; 860e-5 =
23     1.9
24 time_relaxation = 1/frequency_relaxation;
25 lattice_average_density = 1;
26 lattice_sound_speed = 1/sqrt(3);

```

```

lattice_sound_speed_pow_2 = lattice_sound_speed^2;
24 lattice_viscosity = lattice_sound_speed_pow_2*(1/frequency_relaxation
    -0.5);
physical_viscosity = lattice_viscosity*(dimension_x_voxel^2)/
    lattice_time_step; % [m^2/s]
26
% 4 - Build lattice struct with D2Q9 (lattice = Y x X)
28 lattice = build_lattice_D2Q9(number_lines_lattice ,
    number_columns_lattice , lattice_average_density);

30 % 4.1 - Setting conditions of wall
wall_points{1} = [251 2 2 251]; % set points in horizontal
32 wall_points{2} = [2 2 61 61]; % set points in vertical
conditions_wall = crossing3( number_lines_lattice , ...
34 number_columns_lattice , wall_points);

36 % 5 - Set initial disturbance
initial_disturbance_density = 0.001;
38 points_lattice{2} = [3:60]; % set point along y
points_lattice{1} = linspace(3,3,length(points_lattice{2})); % set
    all the points in x = 3
40 lattice = set_initial_disturbances(lattice ,
    initial_disturbance_density , points_lattice);

42 %% 6 - Begin the interactive process
time_final = round(4*2*250*sqrt(3))
44 pressure_final_tube(1:time_final) = 0;
particule_velocity_final_tube(1:time_final) = 0;
46 for ta = 1 : time_final

48     %% 6.1 - Propagation (streaming)
    lattice = stream_lattice(lattice);

50
    %% 6.1.2 - Setting conditions of walls
52    lattice = set_conditions_wall(lattice , conditions_wall);

54
    %% 6.2 - Recalculating density and velocities
    density = sum(lattice{1},3);

```

```

56 pressures_input(ta) = mean(density(26:31, 60) - 1)*
lattice_sound_speed^2;
pressures_output(ta) = mean(density(26:31, number_columns_lattice
- 60) - 1)*lattice_sound_speed^2;
58 lattice = calculate_velocities(lattice, density);

60 %% 6.3 - Collide
lattice = collide_lattice(lattice, frequency_relaxation);

62
%% Plotting the results in real time
64 pressure_final_tube(ta) = mean(density(3:60,250) - 1)*
lattice_sound_speed^2;
horizontal_velocity = lattice{2};
66 particule_velocity_final_tube(ta) = mean(horizontal_velocity
(3:60,250));
%grid off
68 imshow(mat2gray(density - 1));
%imagesc(density-1)
70 pause(.0000001)
(ta/time_final)*100
72 end % End main time Evolution Loop

74 frequency_pressure_final_tube = fft(pressure_final_tube);
frequency_particule_velocity_final_tube = fft(
    particule_velocity_final_tube);
76 impedance = frequency_pressure_final_tube./
    frequency_particule_velocity_final_tube;
frequencies = linspace(0,1/lattice_time_step,length(
    frequency_pressure_final_tube))*2*pi*physical_dimension_max_y/
    physical_sound_velocity;
78 figure(2);
plot(frequencies, imag(impedance));
80 ylabel('Impedancia','FontSize',20);
xlabel('Numero de Helmholtz','FontSize',20);
82 title('Parte Imaginaria da Impedancia','FontSize',20);
axis([0 frequencies(end) -25 25]);
84 figure(3);
plot(frequencies, real(impedance), 'r');
86 ylabel('Impedancia','FontSize',20);

```

```
xlabel('Numero de Helmholtz','FontSize',20);  
88 title('Parte Real da Impedancia','FontSize',20);  
axis([0 frequencies(end) -25 25]);
```

code_matlab/code_refactored/closed-opened/main_lbgk.m

1.2.2 Imagens da Simulação



Figura 6: Imagem da frente de onda indo em direção a parede.

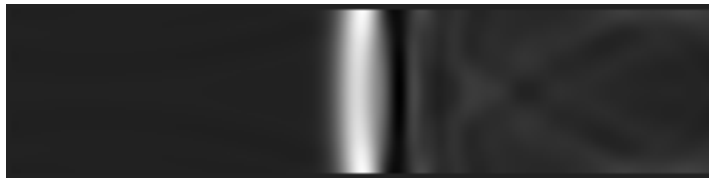


Figura 7: Imagem da frente de onda voltando depois da colisão com a parede do tubo aberto.

1.2.3 Gráficos de Impedância

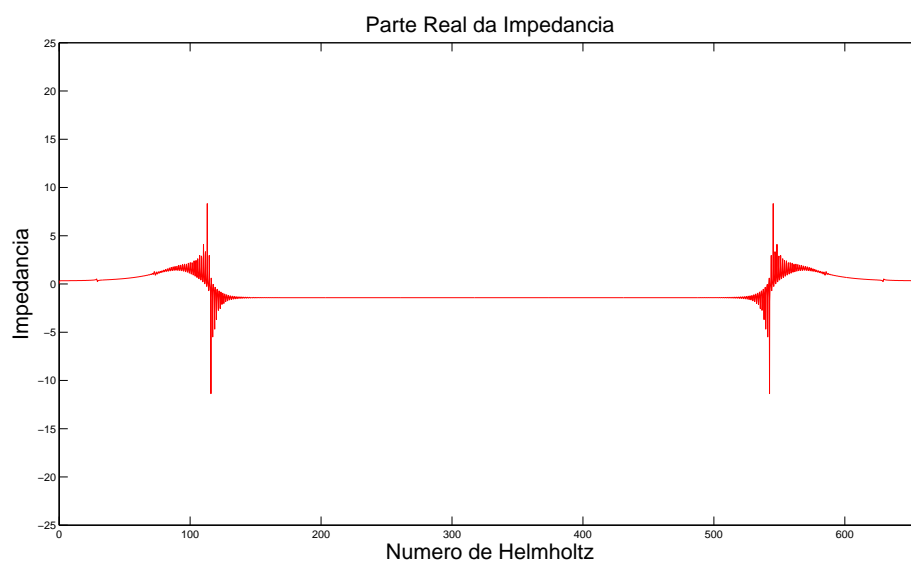


Figura 8: Gráfico da parte real da impedância, ou seja, parte ativa de energia que não permanece no sistema.

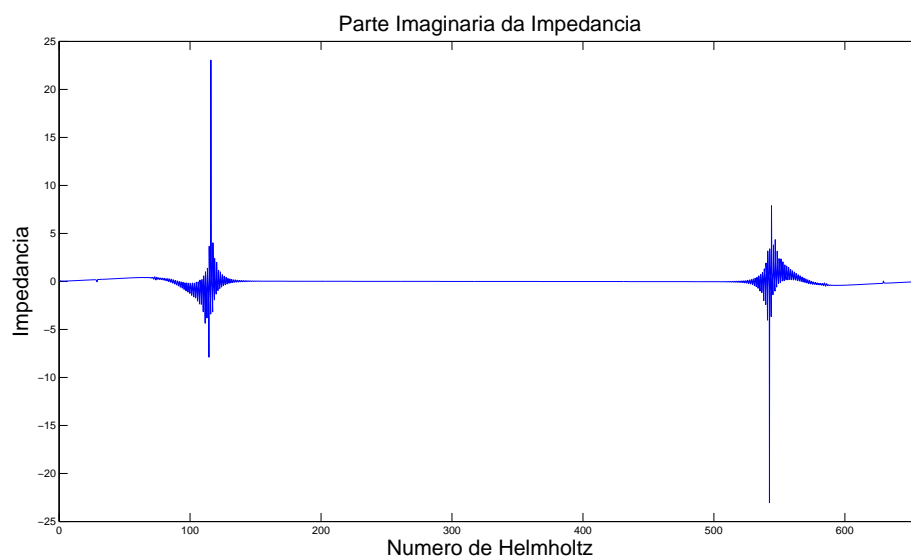


Figura 9: Gráfico da parte imaginária da impedância, ou seja, parte reativa de energia que permanece no sistema.

1.2.4 Análise

Em vista do que foi mostrado nas figuras 6 e 7, de fato a onda colidiu com a parede e voltou com fase negativa, através de uma reflexão que não é de natureza propriamente física. Também há de se comentar que o gráfico de maior energia foi o da figura 9. Esse fato confirma a hipótese de que, devido as reflexões não físicas com a camada livre do duto, há pouquíssima energia se dissipando ou indo para fora do sistema (representado no gráfico da figura 9) e bastante energia se contida dentro do tubo representado em 8, porém a quantidade de energia ativa é maior do que é mostrado no mesmo caso para um duto fechado nas duas extremidades abordado anteriormente (figura 4).

1.3 Tubo Fechado-Aberto com tratamento ABC

Nesse terceiro caso de simulação haverá um pulso de densidades em forma de uma linha de células de lattice na extremidade esquerda do tubo. Esse pulso irá se propagar até encontrar a condição aberta de tratamento anecóico (condição de contorno ABC) ao final do duto. Ao encontrar essa condição a frente de onda de pressão é absorvida.

1.3.1 Códigos

```

1 clear all;
  clc;
3 close all;

5 %% 1 - Set lattice sizes
  number_lines_lattice = 60 + 2; % cells in the y direction
7 number_columns_lattice = 250 + 2; % cells in the x direction

9 %% 2 - Set physical parameters (macro)
  physical_sound_velocity = 340; % [m/s]
11 physical_density = 1.2; % [kg/m^3]
  physical_dimension_max_x = 0.3; % [m]
13 physical_dimension_max_y = 0.072; % [m]
  % voxel is a term to express a volume decribed in a pixel: volume +
    pixel = voxel
15 dimension_x_voxel = physical_dimension_max_x/number_columns_lattice;
    % defining dimension x in voxel
  lattice_time_step = (1/sqrt(3))*dimension_x_voxel/
    physical_sound_velocity;
17

  %% 3 - Set lattice parameters (meso - lattice unities)
19 frequency_relaxation = 1.9; % to 1.5e-5 physcosity 1.9998; 860e-5 =
    1.9
  time_relaxation = 1/frequency_relaxation;
21 lattice_average_density = 1;
  lattice_sound_speed = 1/sqrt(3);
23 lattice_sound_speed_pow_2 = lattice_sound_speed^2;

```

```

lattice_viscosity = lattice_sound_speed_pow_2*(1/frequency_relaxation
    -0.5);
25 physical_viscosity = lattice_viscosity*(dimension_x_voxel^2)/
    lattice_time_step; % [m^2/s]

27 % 4 – Build lattice struct with D2Q9 (lattice = Y x X)
    lattice = build_lattice_D2Q9(number_lines_lattice ,
        number_columns_lattice , lattice_average_density);
29
    % 4.0.1 – Adding conditions anechoic
31 distance = 30;
    growth_delta = 1;
33 [sigma_mat9 Ft] = build_anechoic_condition(number_lines_lattice , ...
    number_columns_lattice , distance , growth_delta);
35
    % 4.1 – Setting conditions of wall
37 wall_points{1} = [2 2 251 251 2]; % set points in horizontal
    wall_points{2} = [2 61 61 2 2]; % set points in vertical
39 conditions_wall = crossing3( number_lines_lattice , ...
    number_columns_lattice , wall_points);
41
    % 5 – Set initial disturbance
43 initial_disturbance_density = 0.001;
    points_lattice{2} = [3:60]; % set point along y
45 points_lattice{1} = linspace(3,3,length(points_lattice{2})); % set
    all the points in x = 3
    lattice = set_initial_disturbances(lattice ,
        initial_disturbance_density , points_lattice);
47
    %% 6 – Begin the interactive process
49 time_final = round(4*2*250*sqrt(3))
    pressure_final_tube(1:time_final) = 0;
51 particule_velocity_final_tube(1:time_final) = 0;
    for ta = 1 : time_final
53
        %% 6.1 – Propagation (streaming)
55        lattice = stream_lattice(lattice);

57        %% 6.1.2 – Setting conditions of walls

```

```

    lattice = set_conditions_wall(lattice, conditions_wall);
59
    %% 6.2 - Recalculating density and velocities
    density = sum(lattice{1},3);
    pressures_input(ta) = mean(density(26:31, 60) - 1)*
    lattice_sound_speed^2;
63    pressures_output(ta) = mean(density(26:31, number_columns_lattice
    - 60) - 1)*lattice_sound_speed^2;
    lattice = calculate_velocities(lattice, density);
65
    %% 6.3 - Collide
67    lattice = collide_lattice(lattice, frequency_relaxation, ...
    sigma_mat9, Ft);
69
    %% Ploting the results in real time
71    pressure_final_tube(ta) = mean(density(3:60,250) - 1)*
    lattice_sound_speed^2;
    horizontal_velocity = lattice{2};
73    particule_velocity_final_tube(ta) = mean(horizontal_velocity
    (3:60,250));
    %grid off
75    imshow(mat2gray(density - 1));
    %imagesc(density-1)
77    pause(.0000001)
    (ta/time_final)*100
79 end % End main time Evolution Loop

81 frequency_pressure_final_tube = fft(pressure_final_tube);
    frequency_particule_velocity_final_tube = fft(
        particule_velocity_final_tube);
83 impedance = frequency_pressure_final_tube./
    frequency_particule_velocity_final_tube;
    frequencies = linspace(0,1/lattice_time_step,length(
        frequency_pressure_final_tube))*2*pi*physical_dimension_max_y/
        physical_sound_velocity;
85 figure(2);
    plot(frequencies, imag(impedance));
87 ylabel('Impedancia','FontSize',20);
    xlabel('Numero de Helmholtz','FontSize',20);

```

```

89 title('Parte Imaginaria da Impedancia','FontSize',20);
axis([0 frequencies(end) -20 20]);
91 figure(3);
plot(frequencies, real(impedance), 'r');
93 ylabel('Impedancia','FontSize',20);
xlabel('Numero de Helmholtz','FontSize',20);
95 title('Parte Real da Impedancia','FontSize',20);
axis([0 frequencies(end) -20 20]);

```

code_matlab/code_refactored/closed-anechoic/main_lbgk.m

```

function lattice = collide_lattice(lattice, frequency_relaxation,
sigma_mat9, Ft);
2
    density = sum(lattice{1},3);
4    w0=16/36.; w1=4/36.; w2=1/36.; % lattice
    weights
    rt0= w0*density;
6    rt1= w1*density;
    rt2= w2*density;
8    velocity_x_pow_2 = lattice{2}.^2;
    velocity_y_pow_2 = lattice{3}.^2;
10    velocity_pow_2 = velocity_x_pow_2 + velocity_y_pow_2;
    f1=3.;
12    f2=4.5;
    f3=1.5; % coef. of
    the f equil.
14    feq(:, :, 1)= rt1 .* (1 +f1*lattice{2} +f2.*velocity_x_pow_2 -f3*
velocity_pow_2);
    feq(:, :, 2)= rt1 .* (1 +f1*lattice{3} +f2.*velocity_y_pow_2 -f3*
velocity_pow_2);
16    feq(:, :, 3)= rt1 .* (1 -f1*lattice{2} +f2.*velocity_x_pow_2 -f3*
velocity_pow_2);
    feq(:, :, 4)= rt1 .* (1 -f1*lattice{3} +f2.*velocity_y_pow_2 -f3*
velocity_pow_2);
18    feq(:, :, 5)= rt2 .* (1 +f1*(+lattice{2}+lattice{3}) +f2*(+lattice
{2}+lattice{3}).^2 -f3.*velocity_pow_2);
    feq(:, :, 6)= rt2 .* (1 +f1*(-lattice{2}+lattice{3}) +f2*(-lattice
{2}+lattice{3}).^2 -f3.*velocity_pow_2);

```

```

20     feq(:, :, 7) = rt2 .* (1 + f1 * (-lattice{2} - lattice{3}) + f2 * (-lattice
    {2} - lattice{3}).^2 - f3 .* velocity_pow_2);
    feq(:, :, 8) = rt2 .* (1 + f1 * (+lattice{2} - lattice{3}) + f2 * (+lattice
    {2} - lattice{3}).^2 - f3 .* velocity_pow_2);
22     feq(:, :, 9) = rt0 .* (1 - f3 .* velocity_pow_2);

24     f = lattice{1};
    lattice{1} = frequency_relaxation * feq + (1 - frequency_relaxation) * f
    - sigma_mat9 .* (feq - Ft);

```

code_matlab/code_refactored/closed-anechoic/collide_lattice.m

1.3.2 Imagens da Simulação



Figura 10: Imagem da frente de onda indo em direção a parede.



Figura 11: Imagem da frente de onda voltando depois da colisão com condição anecóica ao final.

1.3.3 Gráficos de Impedância

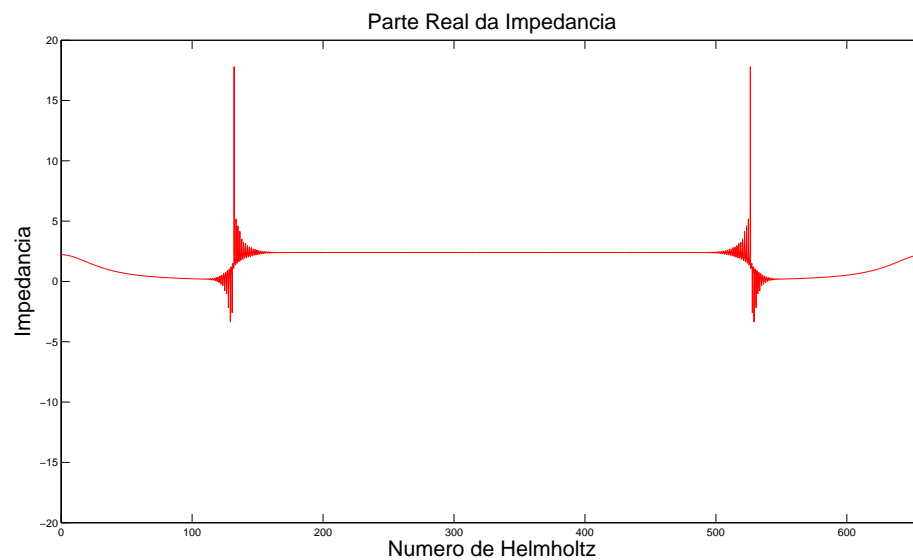


Figura 12: Gráfico da parte real da impedância, ou seja, parte ativa de energia que não permanece no sistema.

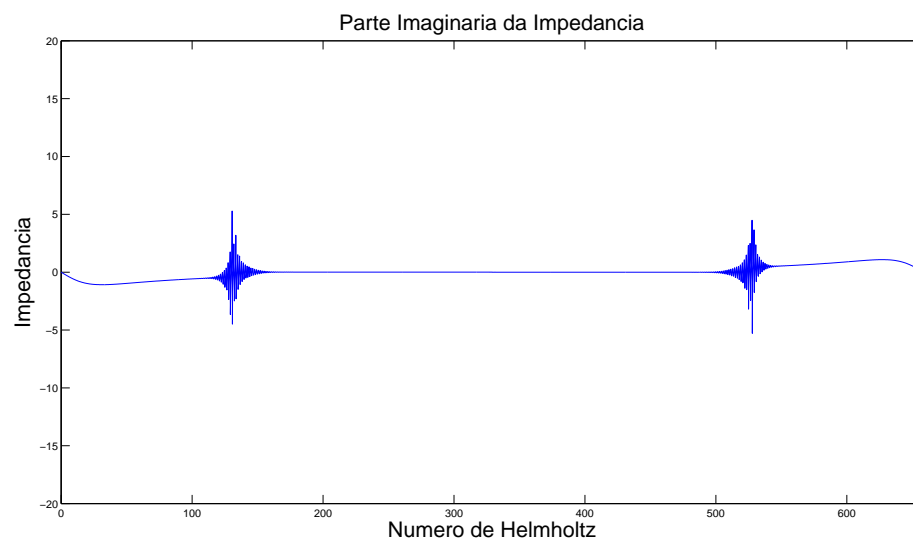


Figura 13: Gráfico da parte imaginária da impedância, ou seja, parte reativa de energia que permanece no sistema.

1.4 Análise

Em vista do que foi mostrado nas figuras 10 e 11, de fato a onda colidiu com a condição anecóica ABC e foi absorvida. Também há de se comentar que o gráfico de maior energia foi o da figura 12. Esse fato confirma a hipótese de que, devido a condição anecóica no final do duto, há bastante energia se dissipando ou indo para fora do sistema (representado no gráfico da figura 12) e pouca energia contida dentro do tubo representado em 11.

2 Filtro Acústico - Muffler

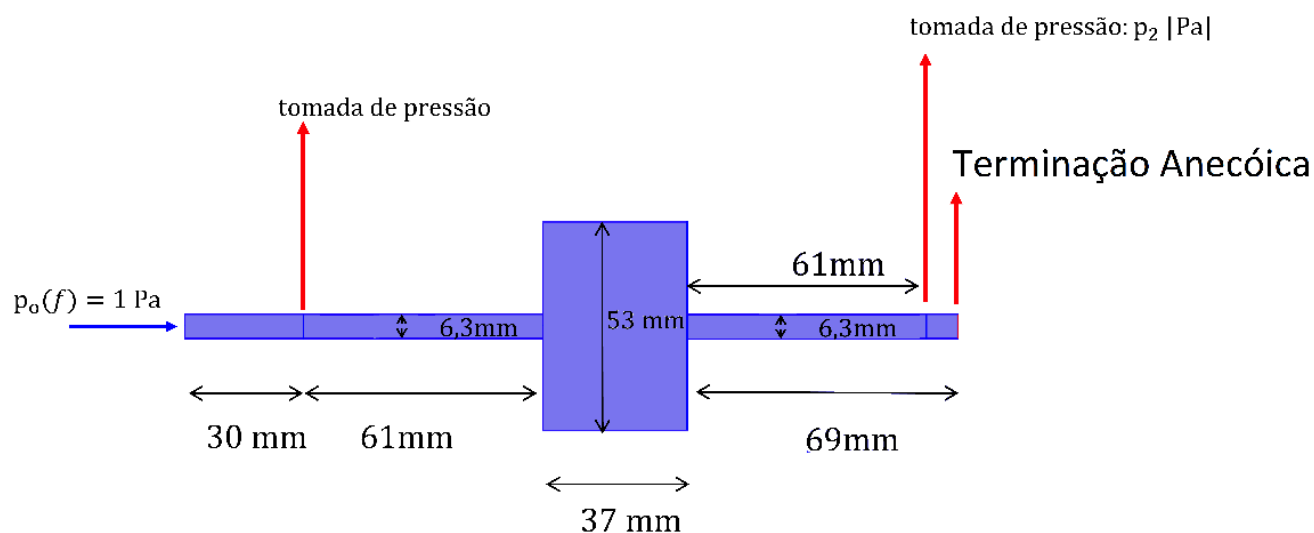


Figura 14: Ilustração esquemática do muffler.

Nessa simulação foi implementado um muffler de acordo com o que é mostrado em 14. Além da estrutura de paredes e condições anecóicas nas extremidades, foi colocado uma perturbação *chirp* na extremidade esquerda através de inserção de massa na implementação de contorno ABC. Essa perturbação *chirp* vai de 0 até 16kHz em unidades físicas ao longo da metade do tempo de simulação, deixando outra metade para propagação das ondas e excitação das frequências de ressonâncias do tubo.

2.1 Códigos

```

1 %%%%%%%%%%%%%%%%%%%%%%%%%%%%%%%%%%%%%%%%%%%%%%%%%%%%%%%%%%%%%%%%%%%%%%%%%%
3 %% This is a simple implementation of the LBGK model.
  %% By Andrey R. da Silva , August 2010

```

[illegible]

```

41 omega = 1.9; % Relaxation
    frequency
tau = 1/omega; % Relaxation time
43 rho_l = 1; % averaged fluid
    density (lattice density
cs = 1/sqrt(3); % lattice speed of
    sound
45 cs2 = cs^2; % Squared speed of
    sound cl^2
visc = cs2*(1/omega-0.5); % lattice viscosity
47 visc_phy = visc*(Dx^2)/Dt; % physical
    kinematic viscosity

49
% Block 4
51 %% Lattice properties for the D2Q9 model

53 N_c=9 ; % number of
    directions of the D2Q9 model
C_x=[1 0 -1 0 1 -1 -1 1 0]; % velocity
    vectors in x
55 C_y=[0 1 0 -1 1 1 -1 -1 0]; % velocity
    vectors in y
w0=16/36. ; w1=4/36. ; w2=1/36.; % lattice weights
57 W = [w1 w1 w1 w1 w2 w2 w2 w2 w0];
f1=3.;
59 f2=4.5;
f3=1.5; % coef. of the f
    equil.

61
D_t=30; % em numero de celulas
63 sigma_t=0.3;
delta_t=0:D_t;

65
% Array of distribution and relaxation functions
67 f=zeros(Nr,Mc,N_c);
feq=zeros(Nr,Mc,N_c);
69

```

```

% Filling the initial distribution function (at t=0) with initial
  values
71 f(:, :, :) = rho_l / 9;
   ux = zeros(Nr, Mc);
73 uy = zeros(Nr, Mc);

75 %rho_l = 0.01;    % initial disturbance

77

79 %funcoes target - saida
   Ux_t = 0;
81 Uy_t = 0;
   U_t = Ux_t^2 + Uy_t^2;
83 rho_t = rho_l;

85 coef1 = 1 / (2 * cs^2); %para uso na relaxacao
   coef2 = -1 / (2 * cs^2);
87

89 Ft = zeros(Nr, Mc, 9);
   Fe = zeros(Nr, Mc, 9);
91
   Ft(:, :, 9) = w0 * rho_t .* (1 + coef2 * U_t);
93
   Ft(:, :, 1) = w1 * rho_t .* (1 + Ux_t / cs^2 + coef1 * (Ux_t.^2) + coef2 * U_t);
95 Ft(:, :, 2) = w1 * rho_t .* (1 + Uy_t / cs^2 + coef1 * (Uy_t.^2) + coef2 * U_t);
   Ft(:, :, 3) = w1 * rho_t .* (1 - Ux_t / cs^2 + coef1 * (Ux_t.^2) + coef2 * U_t);
97 Ft(:, :, 4) = w1 * rho_t .* (1 - Uy_t / cs^2 + coef1 * (Uy_t.^2) + coef2 * U_t);

99 Ft(:, :, 5) = w2 * rho_t .* (1 + (Ux_t + Uy_t) / cs^2 + coef1 * ((Ux_t + Uy_t).^2) +
   coef2 * U_t);
   Ft(:, :, 6) = w2 * rho_t .* (1 + (-Ux_t + Uy_t) / cs^2 + coef1 * ((-Ux_t + Uy_t).^2) +
   coef2 * U_t);
101 Ft(:, :, 7) = w2 * rho_t .* (1 + (-Ux_t - Uy_t) / cs^2 + coef1 * ((-Ux_t - Uy_t).^2) +
   coef2 * U_t);
   Ft(:, :, 8) = w2 * rho_t .* (1 + (Ux_t - Uy_t) / cs^2 + coef1 * ((Ux_t - Uy_t).^2) +
   coef2 * U_t);
103 %

```

```

105 sigma=sigma_t*(delta_t/D_t).^2;
    sigma_mat=[];
107 for i=1:Nr % ver se tem jeito melhor de concatenar as matrizes
        sigma_mat=cat(1,sigma,sigma_mat);
109 end

111 sigmat=sigma_mat;

113 sigma_mat=[zeros(Nr,Mc-D_t-1) sigmat];
    sigma_mat2=[sigmat zeros(Nr,Mc-D_t-1)];
115
    % Condicao anecoica no final
117 inside=(round((53-6.3)/2)+3):(round((53+6.3)/2)+1);
    outside=1:Nr;
119 for i=1:length(inside)
        outside=outside(outside~=inside(i));
121 end

123
    sigma_mat(outside, :, :)=0;
125 sigma_mat2(outside, :, :)=0;

127 sigma_mat9=[];
    for i=1:9
129 sigma_mat9=cat(3,sigma_mat,sigma_mat9);
    end

131
    sigma_mat9e=[];
133 for i=1:9
        sigma_mat9e=cat(3,sigma_mat2,sigma_mat9e);
135 end
    % sigma_mat9e=zeros(Nr,Mc,9);
137 % sigma_mat9e=flipr(sigma_mat9);

139
    %Block 5
141 %% Begin the interactive process
    % REVER

```

```

143 x1=[ 0 (30+61) (30+61) (30+61+37) (30+61+37)
      (30+61+37+69)];
y1=[ (53-6.3)/2 (53-6.3)/2 0 0 (53-6.3)/2 (53-6.3)
      /2 ]+2;
145 % x1=[];
% y1=[];
147 [vec1,vec2,vec3,vec4,vec5,vec6,vec7,vec8] = crossing3(Nr,Mc,x1,y1);
%
149 y12=[(53+6.3)/2 (53+6.3)/2 53 53 (53+6.3)/2 (53+6.3)/2 ]+2;
[vec12,vec22,vec32,vec42,vec52,vec62,vec72,vec82] = crossing3(Nr,Mc,
x1,y12);
151
taf= 10*2*Mc*sqrt(3);
153 %% Build a chirp source sound
times_chirp = 1:taf/2;
155 frequency_lattice_max = 16e3*Dx/(340/cs);
chirp_source_sound = chirp(times_chirp, 0, times_chirp(end)*2,
frequency_lattice_max);
157 source_sound = 1 + chirp_source_sound*0.01;
for ta = 1 : taf
159
% Block 5.1
161 %%%%%%%%%%%%%%%%%%%%%%%%%%%%%%%%%%%%%%%%%%%%%%%%%%%%%%%%%%%%%%%%%%%%%%%%%%%
%% propagation (streaming)
163 %%%%%%%%%%%%%%%%%%%%%%%%%%%%%%%%%%%%%%%%%%%%%%%%%%%%%%%%%%%%%%%%%%%%%%%%%%%

165 f(:, :, 1) = [ f(:, 1:2, 1) f(:, 2:Mc-1, 1) ];
f(:, :, 2) = [ f(1:2, :, 2); f(2:Nr-1, :, 2) ];
167 f(:, :, 3) = [ f(:, 2:Mc-1, 3) f(:, Mc-1:Mc, 3) ];
f(:, :, 4) = [ f(2:Nr-1, :, 4); f(Nr-1:Nr, :, 4) ];
169 f(:, :, 5) = [ f(:, 1:2, 5) f(:, 2:Mc-1, 5) ];
f(:, :, 5) = [ f(1:2, :, 5); f(2:Nr-1, :, 5) ];
171 f(:, :, 6) = [ f(:, 2:Mc-1, 6) f(:, Mc-1:Mc, 6) ];
f(:, :, 6) = [ f(1:2, :, 6); f(2:Nr-1, :, 6) ];
173 f(:, :, 7) = [ f(:, 2:Mc-1, 7) f(:, Mc-1:Mc, 7) ];
f(:, :, 7) = [ f(2:Nr-1, :, 7); f(Nr-1:Nr, :, 7) ];
175 f(:, :, 8) = [ f(:, 1:2, 8) f(:, 2:Mc-1, 8) ];
f(:, :, 8) = [ f(2:Nr-1, :, 8); f(Nr-1:Nr, :, 8) ];
177

```

```

179     G=f;
    f ( vec1 )=G( vec3 );
    f ( vec3 )=G( vec1 );
181     f ( vec2 )=G( vec4 );
    f ( vec4 )=G( vec2 );
183     f ( vec5 )=G( vec7 );
    f ( vec7 )=G( vec5 );
185     f ( vec6 )=G( vec8 );
    f ( vec8 )=G( vec6 );
187
    G=f;
189     f ( vec12 )=G( vec32 );
    f ( vec32 )=G( vec12 );
191     f ( vec22 )=G( vec42 );
    f ( vec42 )=G( vec22 );
193     f ( vec52 )=G( vec72 );
    f ( vec72 )=G( vec52 );
195     f ( vec62 )=G( vec82 );
    f ( vec82 )=G( vec62 );
197
    % Block 5.2
199     %%%%%%%%%%%%%%%%%%%%%%%%%%%%%%%%%%%%%%%%%%%%%%%%%%%%%%%%%%%%%%%%%%%%%%%%%%
    % recalculating rho and u
201     %%%%%%%%%%%%%%%%%%%%%%%%%%%%%%%%%%%%%%%%%%%%%%%%%%%%%%%%%%%%%%%%%%%%%%%%%%
    rho=sum( f ,3 );
203
    % %      Perturbacao
205     % %      rho(150,150)=rho_l+A*sin(2*pi*freq*(ta-1));

207     rt0= w0*rho;
    rt1= w1*rho;
209     rt2= w2*rho;

211     % Determining the velocities according to Eq.( ) (see slides)
    ux = (C_x(1) .* f (:, :, 1) + C_x(2) .* f (:, :, 2) + C_x(3) .* f (:, :, 3) + C_x(4) .*
    f (:, :, 4) + C_x(5) .* f (:, :, 5) + C_x(6) .* f (:, :, 6) + C_x(7) .* f (:, :, 7) + C_x(8)
    .* f (:, :, 8)) ./ rho ;
213     uy = (C_y(1) .* f (:, :, 1) + C_y(2) .* f (:, :, 2) + C_y(3) .* f (:, :, 3) + C_y(4) .*
    f (:, :, 4) + C_y(5) .* f (:, :, 5) + C_y(6) .* f (:, :, 6) + C_y(7) .* f (:, :, 7) + C_y(8)

```



```

.*f(:, :, 8))./rho ;

215 % Block 5.3
%%%%%%%%%%%%%%%%%%%%%%%%%%%%%%%%%%%%%%%%%%%%%%%%%%%%%%%%%%%%%%%%%%%%%%%%%%%%%%
217 %% Determining the relaxation functions for each direction
%%%%%%%%%%%%%%%%%%%%%%%%%%%%%%%%%%%%%%%%%%%%%%%%%%%%%%%%%%%%%%%%%%%%%%%%%%%%%%
219 uxsq=ux.^2;
    uysq=uy.^2;
221 usq=uxsq+uysq;

223 feq(:, :, 1)= rt1 .* (1 +f1*ux +f2.*uxsq -f3*usq);
    feq(:, :, 2)= rt1 .* (1 +f1*uy +f2.*uysq -f3*usq);
225 feq(:, :, 3)= rt1 .* (1 -f1*ux +f2.*uxsq -f3*usq);
    feq(:, :, 4)= rt1 .* (1 -f1*uy +f2.*uysq -f3*usq);
227 feq(:, :, 5)= rt2 .* (1 +f1*(+ux+uy) +f2*(+ux+uy).^2 -f3.*usq);
    feq(:, :, 6)= rt2 .* (1 +f1*(-ux+uy) +f2*(-ux+uy).^2 -f3.*usq);
229 feq(:, :, 7)= rt2 .* (1 +f1*(-ux-uy) +f2*(-ux-uy).^2 -f3.*usq);
    feq(:, :, 8)= rt2 .* (1 +f1*(+ux-uy) +f2*(+ux-uy).^2 -f3.*usq);
231 feq(:, :, 9)= rt0 .* (1 - f3*usq);

233 Ux_e=0;
    Uy_e=0;
235 U_e=Ux_e^2+Uy_e^2;
    lambda=25/ta;
237 freq=cs/lambda;
    A=0.001;
239 %rho_e = rho_l+A*sin(2*pi*freq*(ta-1));
    rho_e = 1;
241 if ta <= length(source_sound)
        rho_e = source_sound(ta);
243 end

245 Fe(:, :, 9)= w0*rho_e.*(1+coef2*U_e);

247 Fe(:, :, 1)= w1*rho_e.*(1 +Ux_e/cs2 +coef1*(Ux_e.^2 )+coef2*U_e);
    Fe(:, :, 2)= w1*rho_e.*(1 +Uy_e/cs2 +coef1*(Uy_e.^2 )+coef2*U_e);
249 Fe(:, :, 3)= w1*rho_e.*(1 -Ux_e/cs2 +coef1*(Ux_e.^2 )+coef2*U_e);
    Fe(:, :, 4)= w1*rho_e.*(1 -Uy_e/cs2 +coef1*(Uy_e.^2 )+coef2*U_e);
251

```

```

Fe(:, :, 5) = w2*rho_e.*(1 + (Ux_e+Uy_e)/cs2 + coef1*((+Ux_e+Uy_e)
.^2) + coef2*U_e);
253 Fe(:, :, 6) = w2*rho_e.*(1 + (-Ux_e+Uy_e)/cs2 + coef1*((-Ux_e+Uy_e)
.^2) + coef2*U_e);
Fe(:, :, 7) = w2*rho_e.*(1 + (-Ux_e-Uy_e)/cs2 + coef1*((-Ux_e-Uy_e)
.^2) + coef2*U_e);
255 Fe(:, :, 8) = w2*rho_e.*(1 + (Ux_e-Uy_e)/cs2 + coef1*((+Ux_e-Uy_e)
.^2) + coef2*U_e);

257 % Block 5.4
%%%%%%%%%%%%%%%%%%%%%%%%%%%%%%%%%%%%%%%%%%%%%%%%%%%%%%%%%%%%%%%%%%%%%%%%%%%%%%
259 % Collision (relaxation) step
%%%%%%%%%%%%%%%%%%%%%%%%%%%%%%%%%%%%%%%%%%%%%%%%%%%%%%%%%%%%%%%%%%%%%%%%%%%%%%

261 %      f = (1-omega)*f + omega*feq;
263
      f = omega*feq + (1-omega)*f - sigma_mat9.*(feq - Ft) - sigma_mat9e.*(feq -
      Fe);

265
      %% Plotting the results in real time
267 %surf(rho-1), view(2), shading flat, axis equal, axis off, caxis
      ([-.00001 .00001]),
      %imagesc(rho - 1)
269 %grid off
      imshow(mat2gray(rho - 1));
271 pause(.0000001)
      %%
273
      pre(ta) = mean(rho(inside, 32) - 1) / 3;
275 prs(ta) = mean(rho(inside, Mc-D_t-3) - 1) / 3;

277 (ta/taf)*100
end % End main time Evolution Loop
279 %%

281 Prs = abs(fft(prs));
      Pre = abs(fft(pre));
283 freq1 = linspace(0, 1/Dt, length(Prs));
      Z = 20*log10(Prs./Pre);

```

```
285 | open CurvaMufflerMareze.fig
287 | hold on
    | plot(freq1,Z, 'r');
289 | ylabel('Perda de transmissao [dB]');
    | xlabel('Frequencia [Hz]');
291 | legend('Curva com Elementos Finitos', 'Curva da Simulacao');
    | %axis([0 10000 -20 20])
293 | hold off
```

/home/gepeto/jose_pedro/muffler/main_lbgk.m

2.2 Imagens da Simulação



Figura 15: Muffler sendo excitado ainda no começo antes da metade do tempo de simulação.



Figura 16: Muffler depois de excitado ressonando para a primeira frequência.



Figura 17: Muffler depois de excitado ressonando para a segunda frequência.

2.3 Gráfico da Atenuação

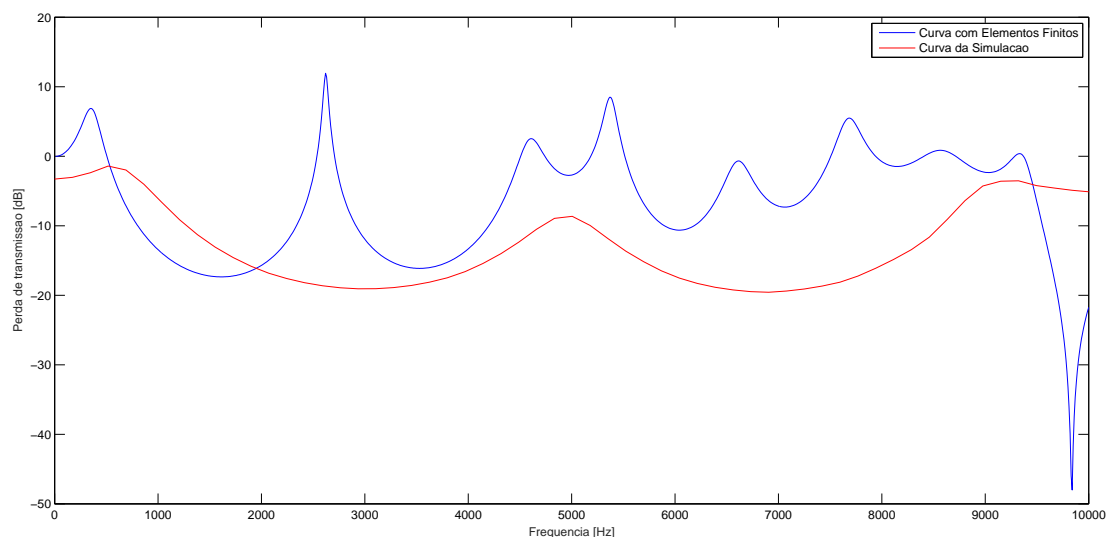


Figura 18: Comparação da curva obtida com elementos finitos e com a curva da simulação.

2.4 Análise

Em vista do que foi mostrado nas figuras 15, 16 e 17, a excitação do tipo *chirp* realmente estava mandando pulsos cada vez mais frequentes e rápidos para o muffler sem o estouro da *lattice* por emissão de massa em excesso e também é observado que depois da metade do tempo de simulação, depois que o *chirp* termina o processo de perturbação, dois modos de ressonância surgem com energia acumulada. Também há de se comentar que o gráfico 18 de perda de transmissão realmente mostrou dois picos para os dois modos excitados vistos nas imagens da simulação, porém o mesmo divergiu significativamente da curva de referência feita em elementos finitos. Visivelmente percebe que outros modos não foram excitados e que os modos excitados estão deslocados, no entanto, a curva segue uma tendência grosseira e sem muito ruído.

Referências